



The geochemistry and mineralogy of North C ore body and Baghak anomaly and determination of two Pyrrhotite generations which are different in composition in Sangam mine, eastern Iran

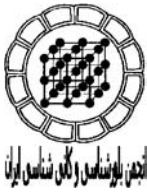
Sh. Kaheni, S. A. Mazaheri, M. H. Karimpour

*Department of Geology, Faculty of sciences, Ferdowsi university of Mashhad-Iran
shivakaheni@yahoo.com E-mail:*

(Received: 7/5/2007, in revised form: 19/4/2008)

Abstract: Detailed studies are done in order to investigate the ore body in Sangam mine. Analyses results showed very low amount of gold in mineralized zone, (max 32 ppb). It is indicated that there is a positive relation between Au, S and As whereas there was no special relation between Au and Cu. Therefore Au can not be found along with Cu sulfides such as chalcopyrite. The LREE elements are higher than HREE in the ore body. Pyrrhotite has two generations which are distinguishable under the microscope: It might be formed either with or after magnetite formation. Careful XRD studies indicate that these two generations have different amounts of Fe and S.

Keywords: Magnetite, Pyrrhotite, Sulfide, Iron stone, Fe oxide type, Gold, Copper, Sulfur, Rare earth element (REE), XRD.



بررسیهای ژئوشیمیایی و کانی‌شناسی سنگ آهن توده C شمالی و باغک در معدن سنگان خواف در شرق ایران و تعیین حضور دو نسل پیرویت با ترکیب شیمیایی متفاوت

شیوا کاهنی، سید احمد مظاهری، محمدحسن کریم‌پور

گروه زمین‌شناسی، دانشکده علوم، دانشگاه فردوسی مشهد
پست الکترونیکی: shivakaheni@yahoo.com

(دریافت مقاله: 1386/2/17، نسخه نهایی: 1387/1/31)

چکیده: نتایج تجزیه‌های ژئوشیمیایی مگنتیت موجود در کانسار سنگان خواف، نشان داد که عنصر طلا در بخشهای کانی ساخته به مقادیر بسیار اندک وجود دارد، (با بیشینه 32ppb). با رسم نمودارهای مختلف مشخص شد که ارتباط مستقیمی بین میزان طلا، سولفور و آرسن وجود دارد، ولی چنین ارتباطی بین عنصر مس و طلا دیده نشد که نشان دهنده عدم حضور طلا همراه با سولفیدهای مس‌دار است. همچنین عناصر LREE نسبت به عناصر HREE در ماده معدنی، غنی شدگی نشان می‌دهد. پیرویت در دونسل کانی-ساز، همراه با مگنتیت و پس از تشکیل آن در محیط برجای گذاشته شده است. همچنین با استفاده از بررسیهای دقیق پرتو X و مطالعات بعدی مشخص شد که این دو نسل از لحاظ میزان آهن و سولفور متفاوتند.

واژه‌های کلیدی: مگنتیت، پیرویت، سولفید، سنگ آهن، گونه Fe Oxide، عناصر خاکی کمیاب (REE)، XRD.

مقدمه

در چرخه‌های متفاوتی صورت گرفته است. با توجه به ثابت نبودن شرایط شیمیایی محیط کانیهای مربوط به هر نسل تفاوت‌هایی از لحاظ ترکیب شیمیایی نشان می‌دهند که آنالیزهای انجام شده XRD این مسئله را در مورد کانی پیرویت نشان می‌دهد.

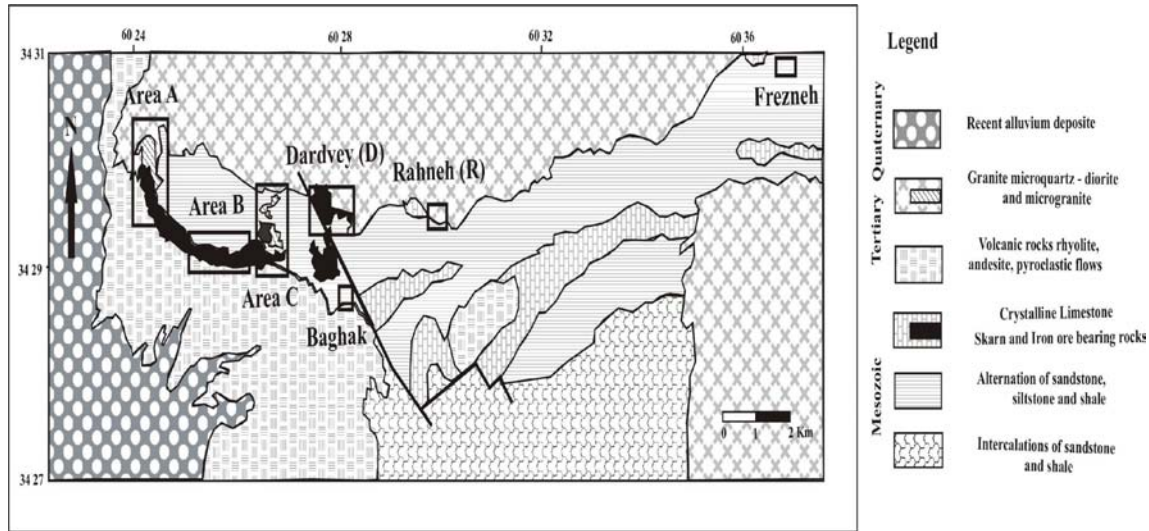
کانسارهای Iron Oxide توسط هیزمن (2000) به دو گروه اصلی مگنتیت-آپاتیت (که حاوی مقادیر بالایی از P, U و REE هستند) و گروه Fe Oxide Cu Au Deposit تقسیم شده‌اند [1].

این دو گونه از بعضی لحاظ شباهتهایی با هم دارند و گاه در برخی مناطق همراه هم یافت می‌شوند [2-5]. در دهه اخیر بررسیهای زیادی بر روی گونه کانی ساخته Fe Oxide صورت گرفته است، و ضمن این بررسیها، ناهنجاریهای آنومالی‌های جدیدی علاوه بر اکسید آهن در کانسارهای مختلف یافت شده‌اند [6-7].

کانسار سنگ آهن سنگان خواف در 280 کیلومتری جنوب شرقی مشهد، در گستره‌ای بین طولهای جغرافیایی $24^{\circ} 60'$ و $45^{\circ} 60'$ و عرضهای جغرافیایی $26^{\circ} 34'$ و $33^{\circ} 34'$ واقع است.

کانسار شامل سه بخش غربی (توده‌های A, A', B, C) و مرکزی (توده‌های دردوی (D) و باغک) و بخش شرقی (ناهنجاریهای رهنه (R) و فرزنه) است، (شکل 1). در حال حاضر بهره‌برداری از توده‌های باغک و A' (تپه قرمز) صورت می‌گیرد.

کانی‌سازی آهن در این معدن به صورت مگنتیت است و عیار آهن به 50 تا 69٪ می‌رسد. در برخی بخشها مخصوصاً در توده C شمالی و باغک، مقادیر نسبتاً بالایی از کانیهای سولفیدی مانند پیریت، پیرویت، و کالکوپیریت مشاهده می‌شوند. بررسیهای کانی‌شناسی دقیق نشان داد که کانی‌سازی در منطقه مراحل مختلفی را طی کرده است، و تشکیل هر کانی



شکل 1 موقعیت زون‌های مختلف کانی‌سازی معدن سنگان، [18].

و به سمت شمال غرب امتداد دارد و وارد چهار گوش گناباد می‌شود. بلوک سوم که نسبت به بلوکهای دیگر از لحاظ اندازه کوچک‌تر است، کوه پیربنوش نام دارد و در شمال منطقه واقع شده است.

بنابراین این سه بلوک، بخش‌های مهم منطقه را از لحاظ زمین‌ساختی تشکیل می‌دهند. سنگ‌شناسی مناطق مورد مطالعه (توده C شمالی و باغک) بیشتر شامل سنگ‌های آذرین، ته‌نشستی و دگرگونی است. سنگهای آذرین مهمترین و گسترده‌ترین سنگهای منطقه هستند که خود شامل سنگهای آذرین درونی و بیرونی و نیمه عمیق‌اند. در گستره باغک و C شمالی حجم گسترده‌ای از سنگهای آذرین نیمه عمیق با ترکیبات اسیدی است که بیشتر به صورت سیل و دایک و یا توده‌های کوچک‌اند. در شمال منطقه گرانیت سرنوسر وجود دارد که بخش جنوبی آن مورد مطالعه قرار گرفته است. سنگهای آذرین درونی از بیشتر بیوتیت گرانودیوریت، سنگهای آذرین بیرونی و نیمه عمیق شامل بیوتیت مونزوگرانیت پورفیری، آمفیبول مونزوگرانیت پورفیری، کوارتز مونزونیت پورفیری، بیوتیت کوارتز مونزونیت پورفیری، آمفیبول کوارتز مونزونیت پورفیری، بیوتیت - آمفیبول کوارتز مونزونیت پورفیری، گرانودیوریت پورفیری، بیوتیت کوارتز سینیت پورفیری، مونزودیوریت پورفیری، مونزونیت پورفیری، آمفیبول مونزونیت پورفیری تشکیل شده است. با توجه به حضور مقادیر

در ایران نیز این گونه کانی‌سازی توسط کریم پور (1382) معرفی شد و کمربند تربت حیدریه - کاشمر - تایباد به عنوان کمربند Fe Oxide نامگذاری شده است [8].

نظر به اینکه کانسار سنگ آهن کانسار خواف یکی از مهمترین معادن آهن ایران به شمار می‌رود، لذا گونه کانی‌سازی آن به تفضیل مورد بررسی قرار گرفت، و بررسیهای ژئوشیمیایی دقیقتری بر روی عناصر مختلف در زونهای کانی‌سازی اکسیدی و سولفیدی آن صورت گرفت.

زمین‌شناسی منطقه

بنابر تقسیمات افتخارنژاد، (1359) که بر پایه چگونگی ساختاری حوضه‌های ته‌نشستی صورت گرفته‌است، منطقه سنگان خواف جزء ایران مرکزی است [9-10]. در اینجا نیز مثل بخش‌های دیگر ایران مرکزی، بیشتر گسل‌ها به صورت هورست و گراین دیده می‌شوند و محیط‌های ته‌نشستی را تشکیل داده‌اند.

بر پایه نقشه زمین‌شناسی 1:250000 تایباد، این منطقه شامل بلوک‌هایی است که از سنگهای قبل از نئوژن تشکیل شده‌اند و با ته‌نشستهای چین‌خورده نئوژن که فرورفتگی‌ها را پر کرده است، از هم جدا می‌شوند. بزرگ‌ترین بلوک که بخش بزرگی از منطقه را شامل می‌شود بلوک اصلی خوانده می‌شود و به صورت برآمدگی بزرگی در منطقه به چشم می‌خورد. بلوک بعدی کوه ناهور - سیناست که در بخش غربی منطقه قرار دارد

توده‌های معدنی A' و C شمالی با داسیت پورفیری که در مجاورت گرانیته سرنوسر است، نیز تحت نفوذ قرار گرفته است.

روش مطالعه

به منظور بررسی‌های ژئوشیمیایی بر روی عناصر اصلی، فرعی، و نادر در زونهای C شمالی و باغک، نمونه برداری از مغزه‌های حفاری صورت گرفت.

از آنجا که هدف اصلی از این آنالیز، بررسی وجود یا عدم وجود طلا همراه با کانی‌سازی مگنتیت بود و بنا بر اطلاعات موجود از معادن مشابه کانی‌سازی طلا بیشتر همراه با کانی-سازی‌های سولفیدی است، نمونه برداری بر زونهای سولفور بالا متمرکز شد. به این طریق که با مطالعه نتایج آنالیزهای AAS که روی مغزه‌های حفاری از عناصر S, P, Fe در معدن صورت گرفته بود، بخشهایی که دارای مقادیر سولفور بالاتری بودند مشخص شد و سعی بر این بود که نمونه‌های برداشت شده از بخشهای مختلف سطحی و عمق باشد تا بتوان روند تغییرات را از سطح به عمق مورد بررسی قرار داد.

در نهایت تعداد 35 نمونه برای آنالیز انتخاب شدند که 8 نمونه پودر به منظور آنالیز دقیق عناصر Au, Ir, Os, Pd, Pt, Rh, Ru به روش عیار سنجی آتش (Fire Assay) و مجموعه عناصر Ce, Dy, Er, Eu, Gd, Ho, La, Lu, Nd, Pr, Sm, Ba, Be, Ti, Fe, Tb, Yb, Tm, Cr, Cu, Mn, Ni, Sr, Zn, W, Hg, Ag, As, Bi, Co, Mo, Pb, Sb, Sn به روش ICP به آزمایشگاه Amdel استرالیا فرستاده شدند که نتایج آنالیزها در جداول 1 و 3 آورده شده‌اند و تعداد 27 نمونه نیز به روش AAS برای عناصر Cu, Ni, Co, Ba, Zn و Bi در آزمایشگاه شیمی تجزیه دانشگاه فردوسی مشهد آنالیز شدند (جدول 2).

به منظور بررسی‌های سنگ‌شناختی تعداد 47 مقطع نازک - صیقلی و بلوک صیقلی تهیه و بررسی شدند. همچنین تعداد 15 بلوک صیقلی مربوط به بررسی‌های قبلی گروه استرالیایی (BHP, 1990) مورد بازبینی و دوباره قرار گرفتند و تقدم و تاخر فلزها و ویژگیهای ظاهری کانیها مورد توجه قرار گرفت. علاوه بر این تعداد دو نمونه که بررسی‌های سنگ‌شناختی در آنها حضور دو نسل پیرویت را نشان داده بودند، برای آنالیز به روش پراش پرتو X انتخاب شدند.

زیادی توده‌های آذرین درونی ونیمه عمیق، حضور فراوان سنگهای دگرگون، بعید به نظر نمی‌رسد. بنابراین بخش بیشتری از سنگهای آذرین و ته نشستی تحت تاثیر دمای بالای این توده‌ها دگرگون شده و به سنگهای جدید تبدیل می‌شوند. این تغییرات بیشتر به صورت تبلور مجدد کانیها و یا تاثیر آبگونیهای ماگمایی (متاسوماتیسم) در آن و تشکیل اسکارن است.

در منطقه مورد مطالعه مقادیر فراوانی شبه نشستی و هورنفلس، مخصوصاً در نزدیکی برخورد گاه با توده‌های نفوذی گرانیتوئیدی یافت می‌شود. علاوه بر این کربناتها نیز به مرمر تبدیل شده‌اند. آهک به مرمر و دولومیتها و آهکهای منیزیم بالا به مرمر فورستریتی مبدل شده‌اند. سنگهای ته نشستی نیز به صورت سیلت و سنگهای کربناته هستند.

زمین‌شناسی گستره کانسار

قدیمی‌ترین سازندهای موجود در منطقه معدن شامل سیلتها و شیلها و ماسه سنگهای دگرنهاد و دگرگون شده ژوراسیک زیرین با ضخامتی بیش از 500 متراند. رخنمونهای زیادی از آنها در بخش شمالی توده‌های معدنی با روند شرقی - غربی مشاهده می‌شوند.

کربنات‌های مرمری شده ژوراسیک میانی که میزبان مگنتیت است، دنباله قبلی را می‌پوشانند. در توده‌های A' و C جنوبی این مرمرها با اسکارن جانشین شده‌اند ولی در توده‌های A و B مرمرها ضخامت زیادی دارند. سنگهای کربناتی با مجموعه بزرگی از سنگهای آتشفشانی پوشیده شده‌اند که بیشتر شامل داسیت، ریوداسیت، پیروکلاستهای آندزیتی و سنگهای ولکانوکلاستیک‌اند. یک واحد انتقالی بین سنگهای کربناتی و سنگهای پیروکلاستیک با سن ائوسن وجود دارد. این واحد از آگلومرا و ولکانوکلاستها با لیتوکلاستهای گرد شده تا نیمه زاویه‌دار از آهک، شیل، سیلت و ماسه سنگ تشکیل شده است.

در بخش شمالی توده‌های غربی گرانیته سرنوسر با سن ائوسن در سازندها نفوذ کرده است. چندین زون اسکارنی دقیقاً در مجاورت گرانیته وجود دارند ولی بخش بزرگی از توده معدنی دورتر از گرانیته تشکیل می‌شود. توده B (مهمترین توده معدنی معدن) در یک کیلومتری گرانیته سرنوسر قرار دارد.

جدول 1 نتایج آنالیز شیمیایی نمونه‌های مگنتیتی از مغزه‌های حفاری مربوط به توده‌های باغک و C شمالی.

SAMPLE	Au	As	Co	Cr	Cu	Mn	Ni	Sr
UNITS	ppb	ppm	ppm	ppm	ppm	ppm	ppm	ppm
DETECTION	1	0,5	0,2	2	0,2	5	2	0,1
METHOD	FA3	IC3E	IC3E	IC3E	IC3E	IC3E	IC3E	IC3E
SN-41	4	11,9	18,7	21	214	947	1	66,4
SN-543	11	108	30,5	15	531	1410	9	10
SN-570	5	17,8	64,9	28	733	944	32	13
SN-586	8	30,1	295	37	692	768	42	10,9
SN-615	32	378	355	35	31	1300	153	28,4
SN-796	3	28,2	77,8	22	256	790	19	27
SN-67-B	7	19,7	61,9	11	861	416	159	11,4
SN-67-A	11	15,5	147	3	741	597	3	43,3
SAMPLE	Zn	Ba	Be	Ti	Fe	Hg	Ag	B
UNITS	ppm	ppm	ppm	ppm	ppm	ppm	ppm	ppm
DETECTION	0,2	0,2	0,2	10	100	0,05	0,01	0,5
METHOD	IC3E	IC3E	IC3E	IC3E	IC3E	IC3M	IC3M	IC3M
SN-41	105	11,9	<	342	584000	<	0,09	<
SN-543	49,9	23,3	<	499	274000	<	0,09	<
SN-570	84,2	<	0,8	155	620000	<	0,17	<
SN-586	74,9	30,8	0,7	125	660000	<	0,04	<
SN-615	166	861	2,4	688	323000	<	0,03	<
SN-796	57,9	2,8	<	434	641000	<	<	<
SN-67-B	16,7	29,1	1	1130	242000	<	0,17	<
SN-67-A	28,7	72,8	<	695	520000	<	0,13	<
SAMPLE	Bi	Mo	Pb	Sb	Sn	W		
UNITS	ppm	ppm	ppm	ppm	ppm	ppm		
DETECTION	0,1	0,1	0,2	0,1	0,2	0,1		
METHOD	IC3M	IC3M	IC3M	IC3M	IC3M	IC3M		
SN-41	0,4	0,4	4,5	2,1	4,8	6,1		
SN-543	5,5	0,6	7,8	4,7	11,2	46,7		
SN-570	0,8	1,2	12,6	3,6	7,5	5,5		
SN-586	1,1	2,6	13,2	1,8	2	21,3		
SN-615	2,2	2,3	22,2	3,3	8,9	11,3		
SN-796	0,7	0,5	11,4	1,8	14,7	4,6		
SN-67-B	1	0,8	11,5	1,4	0,5	22,1		
SN-67-A	2	1,2	24,5	2,7	9	63,2		

جدول 2 نتایج آنالیزهای شیمیایی انجام شده بر روی نمونه‌های کانسنگ مگنتیتی توده‌های C شمالی و باغک با دستگاه AAS در گروه شیمی دانشگاه فردوسی بر حسب ppm.

	Ag	Cu	Ni	Co	Zn	Ba	Bi
BH127	4,02	173,05	35,7	43,55	52,55	22543,75	21,35
BH127	5,6	50,2	61,9	104,4	89	2247,5	43,4
BH128	5	238,55	25,1	49,7	54,3	17512,5	23,75
BH128	7,15	22445	25	52,4	65,25	19625	13,4
BH193	5,1	251,4	28,6	54,3	87,2	16537,5	15,3
BH193	5,9	100,25	23,8	52,15	96,75	27806,25	15,55
BH218	4,95	348,25	17,77	72,8	61,35	21740,63	14,5
BH218	3,7	218,05	22,75	63,8	113,15	29943,75	21,2
BH220	5,75	250,8	21,8	89,1	64,1	26900	16,35
BH123	4,5	43345	21,45	91,4	78,75	29887,5	16,8
BH123	5,25	156,65	23,05	41,7	66,65	16462,5	16,95
BH136	4,1	202,8	16,5	28,15	60,55	9468,75	20,55
BH136	3,02	169425	12,175	27,22	65,35	18568,75	23,12
BH217	4,95	84	22,95	41,95	81,4	24331,25	21,5
BH217	6,45	210,7	24,5	60,25	127,85	29437,5	18,05
BH118	4,7	920	18,65	56,1	2852,5	23575	22,7
BH118	14,35	23495	24,1	48,85	108,6	34375	22,15
BH198	6,1	402,05	20,65	151,85	103,75	18781,25	8,95
BH198	4,95	359,15	21,9	91,1	65,75	22162,5	14,45
BK3	5,3	17,15	92,35	230,75	94,35	8905	11
BK6	6,15	233,95	70,15	61,65	81,65	16337,5	22,9
BK6	5,35	61,5	31,15	87,3	77,4	14575	26,3
BK7	5,05	160,75	19,9	53,35	106,1	17550	31,25
BK9	6,5	145,85	24,25	60,5	105,7	20625	49,1
BK9	3,12	86,375	17,025	29,025	60,325	24837,5	17,1
BK8	3,12	77,15	18,925	24,725	43,55	22475	16,52
BK5	5,6	147,2	18,75	68,45	58,95	31406,25	17,8

جدول 3 نتایج آنالیز شیمیایی عناصر خاکی کمیاب دو نمونه مگنتیتی از مغزه‌های حفاری توده C شمالی.

SAMPLE	Ce	Dy	Er	Eu	Gd	Ho	La	Lu	Nd	Pr
UNITS	ppm	ppm	ppm	ppm	ppm	ppm	ppm	ppm	ppm	ppm
DETECTION	0,05	0,02	0,05	0,02	0,05	0,02	0,05	0,02	0,02	0,05
METHOD	IC3R	IC3R	IC3R	IC3R	IC3R	IC3R	IC3R	IC3R	IC3R	IC3R
SN-67-B	3,74	0,57	0,45	0,04	0,53	0,12	0,99	0,17	2,36	0,46
SN-67-A	8,52	0,58	0,36	0,11	0,67	0,12	3,43	0,07	3,2	0,86

SAMPLE	Sm	Tb	Tm	Yb	Ir	Os	Pd	Pt	Rh	Ru
UNITS	ppm	ppm	ppm	ppm	ppb	ppb	ppb	ppb	ppb	ppb
DETECTION	0,02	0,02	0,05	0,05	1	2	5	1	1	1
METHOD	IC3R	IC3R	IC3R	IC3R	FA4	FA4	FA4	FA4	FA4	FA4
SN-67-B	0,56	0,07	0,07	0,68	2	<	<	2	3	19
SN-67-A	0,64	0,08	<	0,44	1	<	<	10	3	8

بررسیهای ژئوشیمیایی

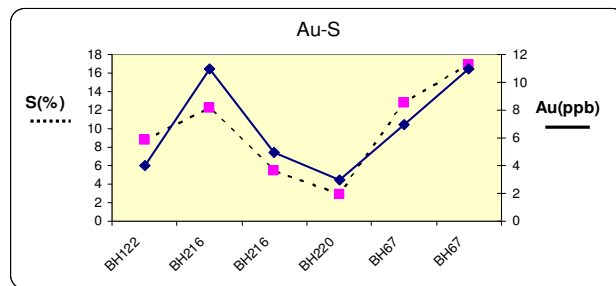
نتایج آنالیز نشان دادند که ناهنجاری بسیار جزئی از طلا در منطقه با سولفید بالا وجود دارد که بیشینه آن به 32 ppb در منطقه باغک می‌رسد. میزان طلا در کانسارهای دیگر نوع Fe Oxide مانند کوه زر تربت حیدریه، کندل اریا و المپیک دم بسیار بالا تر است و این یکی از تفاوت‌های سنگان با معادن یاد شده است.

با رسم نمودار طلا نسبت به، سولفور یک روند مثبت مشاهده می‌شود (شکل 2)، بنابراین حضور طلا همراه کانی سازی سولفیدی تأیید می‌شود. همچنین ارتباط مشابهی بین عناصر طلا و آرسن وجود دارد و با افزایش میزان آرسن، میزان طلا هم افزایش می‌یابد، (شکل 3).

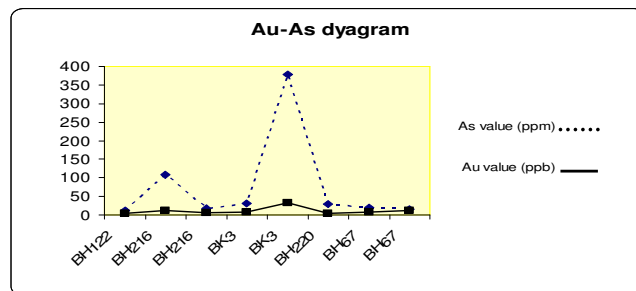
رسم نمودار Cu نسبت به Au ارتباط مستقیم بین این دو عنصر را نشان نداد (شکل 4) که احتمالاً حاکی از این است که

طلا در کانیهای سولفیدی مس دار مانند کالکوپیریت حضور نداشته، بلکه در کانیهای سولفیدی و آرسن دار فاقد مس مانند پیریت و آرسنو پیریت موجود است.

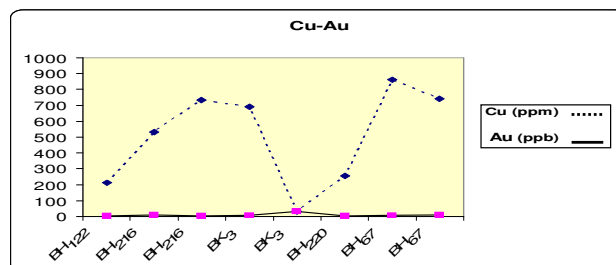
از طرف دیگر نتایج آنالیزها حضور ناهنجاری کوچکی از مس را تایید کرد که از 920 ppm تا 214 ppm در تغییرند. بررسی مقاطع صیقلی، حضور کانیهای مس‌دار مانند کالکوپیریت را در منطقه ثابت کرد. همچنین در برخی بخشها در زون برونزا (supergene)، کانی کوولیت نیز مشاهده شد که حاصل هوازدگی کالکوپیریت بوده و به صورت حلقه‌ای پیرامون آن تشکیل شده است. میزان مس در کانسارهای مشهور دیگر نوع Fe Oxide مانند کوه زر تربت، کندل اریا، و المپیک دم بسیار بالا تر است و به 2 تا 3 درصد نیز می‌رسد.



شکل 2 رابطه مستقیم بین Au-S در نمونه‌هایی از کانسنگ توده C.



شکل 3 رابطه مستقیم Au-As در نمونه‌هایی از کانسنگ توده C و باغک.



شکل 4 رابطه معکوس Au-Cu در نمونه‌هایی از کانسنگ توده C و باغک.

کمیاب در سیستم‌های گرمایی غنی از فلئور قابل انتقال پیدا می‌کنند، کاهش F منجر به کم شدن REE می‌شود، [12].

کانی‌شناسی منطقه

کانی‌سازی در منطقه سنگان از نوع گرمایی است و آبگونی‌های کانی‌سازی از محل گسل‌ها وارد شده، و در سنگ میزبان کربناتی‌جانشین می‌شوند که پردازش تصاویر ماهواره‌ای نیز عملکرد گسل‌ها را در منطقه تایید می‌کند (شکل 6). کانی‌کدر اصلی مگنتیت است که به تنهایی یا همراه با هماتیت، لیمونیت، پیریت، کالکوپیریت، پیروتیت، اسفالریت و کولیت در منطقه حضور دارد. مهمترین کانی شفاف موجود کربنات‌ها هستند که بیشتر به صورت دولومیت یا آهک منیزیم دار مشاهده می‌شوند. کانی‌های شفاف دیگر عبارتند از: فلوگوپیت، آمفیبول، سرپانتین، کلریت، و الیون.

کانی‌سازی در کانسار سنگان مراحل متعددی را طی کرده است و تشکیل هر کانی در چرخه‌های متفاوتی صورت گرفته است که در ادامه به بررسی این مطلب می‌پردازیم.

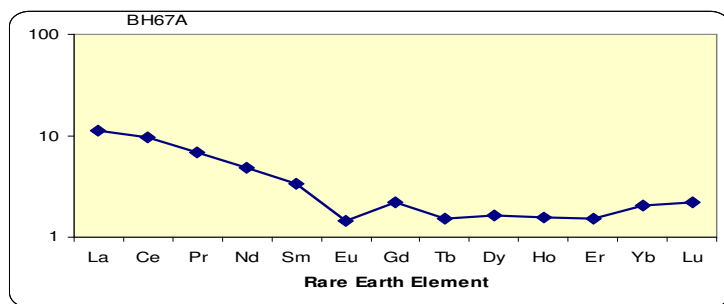
مگنتیت: مگنتیت فراوانترین و مهمترین کانی موجود در منطقه است (30-90٪) و جزء نخستین فازهای ته‌نشین شده است. بافت مگنتیت بسیار متنوع است، به طوری که در مقاطع مختلف بیشتر به صورت جانشینی با بافت متراکم و توده‌ای (شکل 7) و گاه به صورت پراکنده در متن سنگ قابل مشاهده است.

هماتیت: هماتیت در دو نسل قابل بررسی است: 1- هماتیت‌های حاصل از هوازدگی مگنتیت که در نمونه‌های سطحی به مقادیر زیادی قابل مشاهده است، (شکل 8). 2- هماتیت‌های حاصل از حلال‌های گرمایی جدیدتر که در شرایط اکسیدان تشکیل شده‌اند، این هماتیت‌ها به صورت رگچه‌ای هستند.

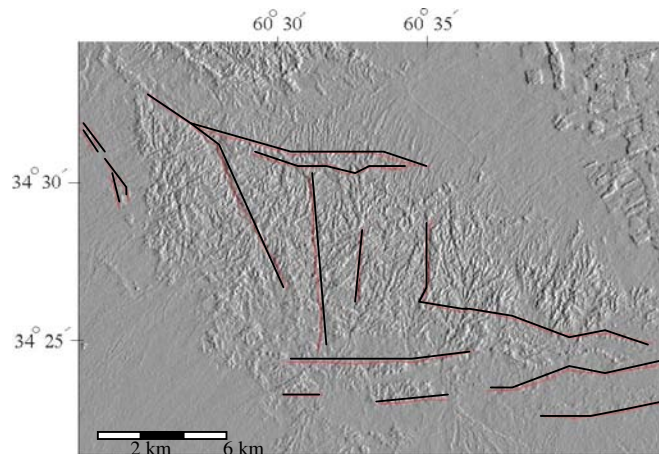
باریم در مناطق مورد مطالعه ناهنجاری نشان می‌دهد و به 3٪ نیز می‌رسد که تائید کننده حضور باریت در این منطقه است. عنصر کبالت در منطقه باغک نیز ناهنجاری نشان می‌دهد به طوری که مقدار آن به بیشینه 355 ppm می‌رسد و در توده C شمالی 151 ppm است. با توجه به اینکه کانی‌سازی کبالت در بررسی مقاطع صیقلی مشاهده نشد، می‌توان انتظار داشت که کبالت در ساختار کانی‌ها دیگر مانند سولفیدها و یا مگنتیت حضور داشته باشد. کبالت و نیکل رابطه مستقیمی با هم دارند. عنصر روی نیز در چند نمونه ناهنجاری نشان می‌دهد که مربوط به کانی‌سازی اسفالریت است که به صورت بسیار جزئی در بلوکهای صیقلی مشاهده شده است.

همچنین بین مس و مولیبدن رابطه نسبتاً مستقیمی وجود دارد که نشان دهنده همراهی این دو عنصر است.

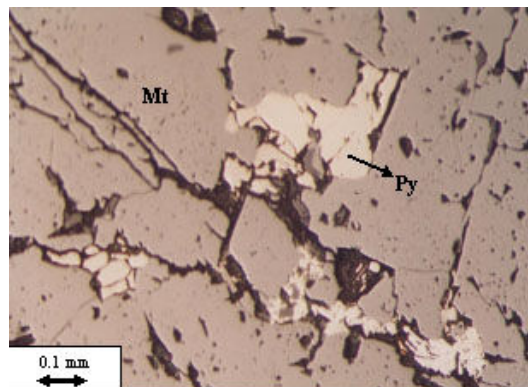
رسم نمودارهای عنکبوتی عناصر کمیاب موجود در زونهای کانی‌سازی پس از بهنجار شدن با کندریت، یک شیب منفی را نشان داد که بیان گرغنی‌شدگی از عناصر خاکی کمیاب سبک (LREE) نسبت به عناصر خاکی کمیاب سنگین (HREE) است (شکل 5) غنی‌شدگی از LREE احتمالاً به علت حضور آپاتیت (به مقدار اندک) در منطقه است، زیرا این عناصر بیشتر در کانی آپاتیت متمرکز می‌شوند. پایین بودن میزان REE در منطقه را می‌توان به دو صورت تفسیر کرد: نخست اینکه ماگمای اولیه که منجر به تشکیل کانسار شده است حاوی مقدار اندکی عناصر خاکی کمیاب بوده است، و در نتیجه کانی‌های حاصله نیز از REE غنی‌شدگی نشان نمی‌دهند و دوم اینکه حضور مقادیر جزئی REE می‌تواند به افزایش میزان اکسید کلسیم در محلول کانه ساز مربوط باشد که این امر باعث رقیق شدن همبافت‌های فلئوریدی و یا کاهش نسبت F/Ca می‌شود، [11]. از آنجا که در این نوع کانسارها عناصر خاکی



شکل 5 روند تغییرات REE در نمونه شماره BH67A.



شکل 6 تصویر ماهواره‌ای گسل‌های منطقه مورد مطالعه.



شکل 7 بافت متراکم در مگنتیت.



شکل 8 جانشینی هماتیت در پیرامون مگنتیت، نور بازتابی و PPL.

دانه‌ای و پراکنده در زمینه مگنتیت و هرزه سنگ است و بافتهای دیگر عبارتند از: بافت خوشه انگوری، بافت پویکیلیتی و بافت حاشیه‌ای که حاصل تبدیل پیروتیت به پیریت است [13] (شکل 9). به طور کلی می‌توان پیریت‌های موجود در منطقه را

پیریت: پیریت فراوان‌ترین کانی سولفیدی در مناطق مورد مطالعه است. بافت پیریت‌ها نیز تنوع زیادی دارد و به اشکال مختلف دیده می‌شوند که همه این بافت‌ها حاصل جانشینی پیریت در سنگ‌های کربناته است. مهم‌ترین بافت موجود

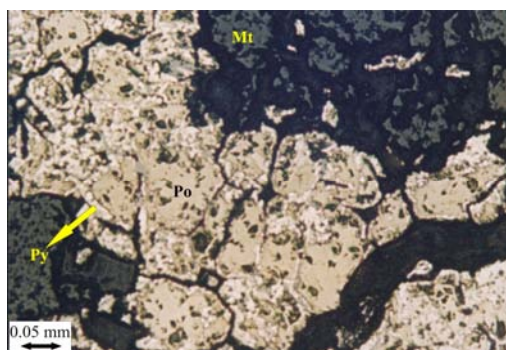
بافت غالب افشان است که بلورهای پیروتیت در زمینه مگنتیت پراکنده‌اند. بافت توده‌ای نیز در پیروتیتها مشاهده می‌شود. حضور پیروتیت‌های سالم و پیروتیت‌های دگرسان که همراه یکدیگر و در کنار هم هستند احتمالاً بیانگر حضور دو نسل پیروتیت است که بررسیهایی که به روش XRD انجام گرفت این مطلب را تایید کرد و در ادامه به بررسی آن می‌پردازیم.

کالکوپیریت: کالکوپیریت یکی از کانیهای سولفیدی است که به مقادیر اندک (1 تا 3 درصد) همراه مگنتیت و کانیهای سولفیدی دیگر مشاهده می‌شود و در مراحل نهایی کانی سازی تشکیل شده است. بلورهای کالکوپیریت دارای شکل مشخصی نیستند و بیشتر به صورت پرکننده فضای خالی در درون و یا پیرامون مگنتیت، پیریت، پیروتیت، و کانیهای هرزه حضور دارد. بافت کالکوپیریت پراکنده و دانه‌ای است. بلورهای کالکوپیریت در شرایط اکسایش و در اثر فرایندهای ابرپرزن به کانی کولیت تبدیل می‌شود که این تبدیل از حاشیه بلور آغاز می‌شود [13].

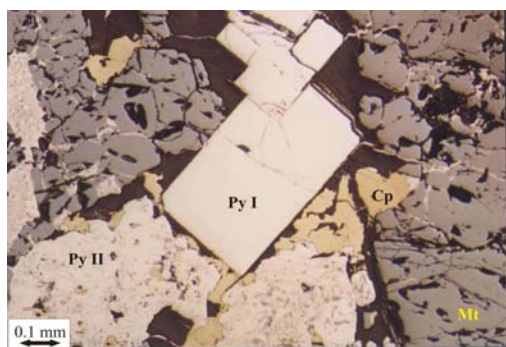
به چهار نسل تقسیم کرد: **1- پیروتیت‌های اولیه:** این پیروتیتها همزمان با تشکیل مگنتیت به وجود آمده‌اند و فضای کافی برای رشد آنها وجود داشته است، بنابراین اشکال کاملاً یوهیدرال دارند [14]. علاوه بر این اندازه این پیروتیتها نیز نسبت به پیروتیتها درشت‌تر است. **2- پیروتیت‌های نسل دوم:** این پیروتیتها پس از تشکیل مگنتیت ایجاد شده‌اند. این نسل فاقد اشکال یوهیدرالند. **3- پیروتیت‌های ثانویه:** پیروتیت‌های ثانویه حاصل تغییر ماهیت پیروتیتها هستند، به این صورت که در اثر تغییرات شیمی محیط، پیروتیت از حاشیه شروع به تغییر ماهیت کرده و به پیریت تبدیل می‌شود. با پیشرفت این دگرسانی پیروتیت کاملاً به پیریت مبدل می‌شود (شکل‌های 11 و 10).

4- پیروتیت‌های رگچه‌ای: پیروتیت‌های رگچه‌ای از فراوان‌ترین پیروتیت‌های موجودند. این پیروتیتها فضاهای خالی و درزه و شکافهای موجود را پر می‌کنند و گاهی پیروتیت‌های مراحل پیش را قطع می‌کنند.

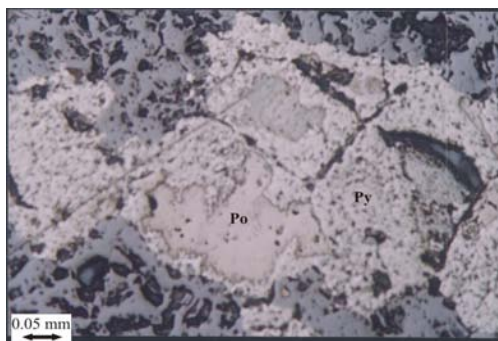
پیروتیت: بافتهای متنوعی در پیروتیتها قابل مشاهده‌اند که حاصل جانشینی پیروتیت در سنگهای کربناتی است [15-16].



شکل 9 بافت حاشیه‌ای پیریت در پیرامون پیروتیت، نور بازتابی و PPL.



شکل 10 پیروتیت‌های یوهیدرال نسل اول (Py I) و پیروتیت‌های آن هیدرال نسل دوم (Py II)، نور بازتابی و PPL.



شکل 11 پیریت نسل سوم حاصل از پیرویت، نور بازتابی و PPL.

بررسیهای ژئوشیمیایی نشان داد که کانسنگ توده‌های C شمالی و باغک، ناهنجاریهای بسیار ضعیفی از طلا نشان می‌دهند که بنابر این نمی‌توان از آن برای استخراج طلا استفاده کرد. در این کانسار عنصر طلا با مس همراهی نشان نمی‌دهد، بنابراین در ساختار کانی کالکوپیریت حضور ندارد بلکه با توجه به رابطه مستقیم بین طلا با سولفور و آرسن، این عنصر در کانیهای سولفیدی و آرسن دار فاقد مس مانند پیریت و آرسنو پیریت موجود است.

در کانسنگ حاوی مگنتیت عناصر خاکی کمیاب اندک بوده و مقادیر LREE نسبت به HREE بالاتر است. غنی‌شدگی از LREE احتمالاً به علت حضور آپاتیت (به مقدار اندک) در منطقه است زیرا این عناصر بیشتر در کانی آپاتیت متمرکز می‌شوند. در نهایت با بررسیهای دقیق ژئوشیمیایی، نوع کانی سازی این کانسار از نوع کبرونا با طلا و فسفر و REE پایین تعیین شده است.

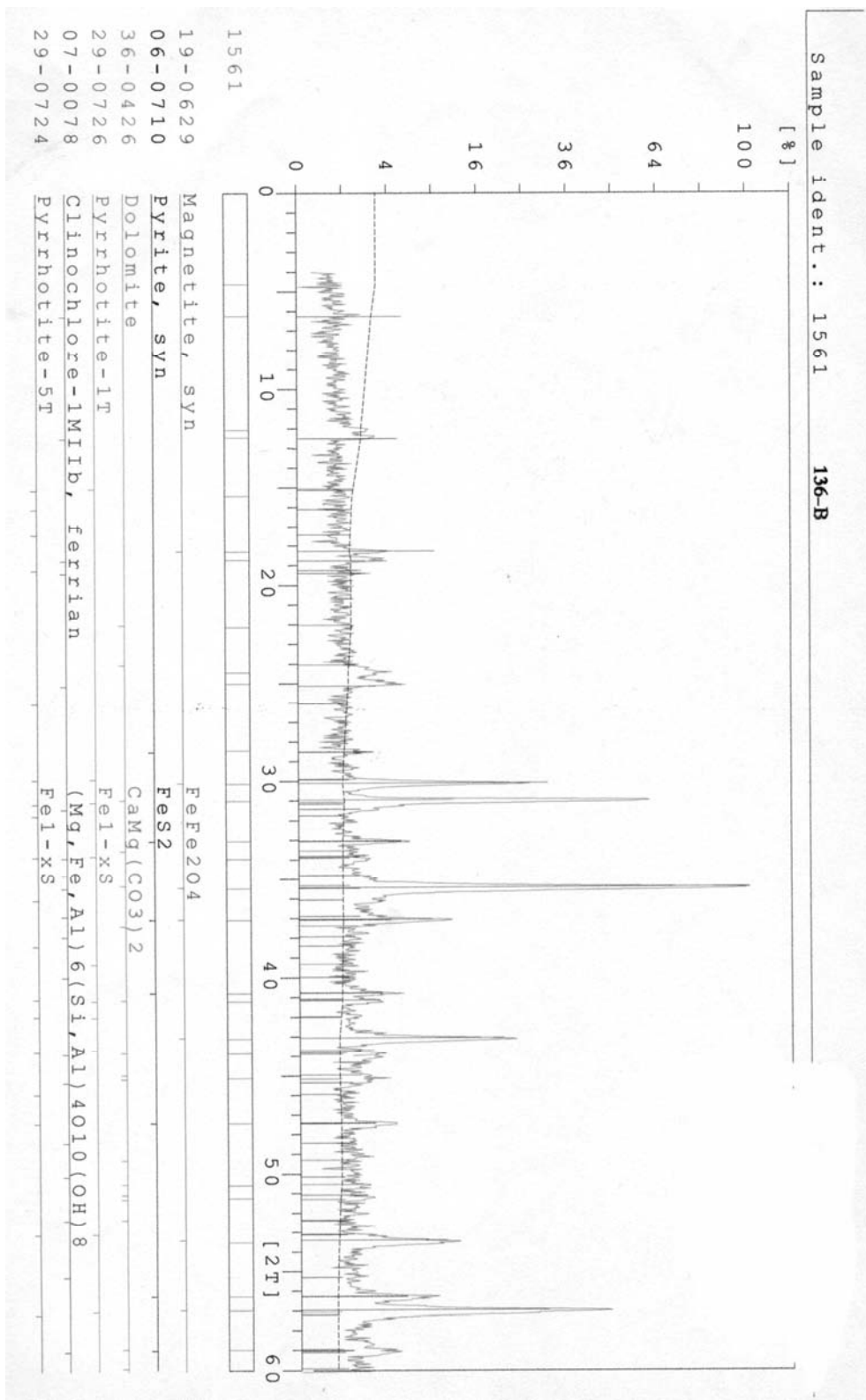
بررسیهای کانی‌شناسی نشان داد که پیریت‌های این منطقه را می‌توان مربوط به چهار نسل دانست: نسل اول پیریت‌های یوهیدرال که همزمان با تشکیل مگنتیت‌ها ایجاد شده‌اند، نسل دوم پیریت‌های بی‌شکل، نسل سوم پیریت‌های حاصل از پیرویت که گاه بافت حاشیه‌ای نشان می‌دهند و نسل چهارم پیریت‌های رگچه‌ای. پیرویت‌ها نیز در دو نسل مختلف مشاهده می‌شوند: نسل اول قدیمی‌تر، و همزمان با مگنتیت تشکیل شده است و نسل دوم که در حال تبدیل به پیریت است، جوان‌تر بوده و در مرحله بعد ایجاد شده است. آنالیز کانسنگ به روش XRD نیز حضور دو نسل پیرویت را تأیید کرده است و بررسیهای بعدی نشان داد که نسل اول و نسل دوم از لحاظ ترکیب شیمیایی متفاوتند.

تعیین دو نسل پیرویت با تصویر برداری با پرتو X

در طول بررسیهای مقاطع صیقلی توده‌های C شمالی و باغک، پیرویت‌ها مورد توجه قرار گرفت. این کانیها خصوصیات ویژه‌ای نشان می‌دادند به طوری که دسته‌ای از آنها کاملاً دگرسان شده و در حال تبدیل به پیریت بودند و گه گاهی این تبدیل در مراحل نهایی بود و در همان مقطع بلورهای دیگری با سرشتیه‌ها پتیکی، پیرویت مشاهده می‌شد که برخوردگاه تیزی با مگنتیت‌ها داشته و کاملاً سالم و بدون هر گونه آلتراسیون بود. به نظر می‌رسید این کانی احتمالاً ترکیب جدید و ناشناخته با خصوصیات نوری مشابه پیرویت باشد و با توجه به این که مقدار آنها بیش از 5٪ بود نمونه‌ای به منظور آنالیز XRD انتخاب شده و مورد بررسی قرار گرفت. نتایج نشان داد که در این نمونه دو نوع پیرویت با ویژگیهای ساختاری متفاوت وجود دارند، (شکل 12). با بررسی ابعاد شبکه (پارامتر سلولی) معلوم شد که این دو پیرویت از لحاظ ابعاد بلورین با هم متفاوتند، به طوری که در پیرویت نوع اول ابعاد بلور به صورت $6,88 = a$ و $28,67 = c$ و در نوع دوم $6,89 = a$ و $63,22 = c$ است، ولی سیستم تبلور در هر دو نمونه ششگوشی تعیین شده است، [14-16] (شکل 13 و 14).

با توجه به مطالب یاد شده و بررسی فراوان پیرامون دلیل تفاوت این دو نوع پیرویت نتایج جالبی حاصل شد. بنابر نظریه زوزمن، (1996) افزایش کمبود آهن منجر به کاهش در پارامتر سلولی پیرویت می‌شود [17]، بنابراین می‌توان نتیجه گرفت که پیرویت نوع اول که ابعاد کوچک‌تری دارد، مقدار آهن کمتری در ساختار آن موجود است ولی پیرویت نوع دوم ابعاد بزرگتری دارد و میزان آهن موجود در آن بیشتر است.

برداشت



شکل 12

کانسنگ توده C شمالی با پرتو X.

تصویری از

29-0724		Wavelength= 1.9373					
Fe1-xS	d	Int	h	k	l	i	
Iron Sulfide	5.8500	3	1	0	1		
	5.5000	1	1	0	2		
	5.0800	<1	1	0	3		
Pyrrhotite-5T	4.6100	<1	1	0	4		
	3.4200	1	1	1	1		
	2.9840	30	2	0	0		
	2.8680	2	0	0	10		
	2.8160	1	1	0	9		
	2.6470	80	2	0	5		
	2.4890	1	1	1	8		
	2.3430	1	1	9			
	2.1950	<1	2	1	3		
	2.1510	1	2	1	4		
	2.0670	100	2	0	10		
	1.9740	<1	2	1	7		
	1.9150	2	3	0	4		
	1.7230	35	2	2	0		
	1.6093	7	2	0	15		
	1.4916	1	4	0	0		
	1.4434	4	4	0	5		
	1.4339	5	0	0	20		
	1.3233	8	1	1	20		
	1.2693	2	4	1	5		
	1.1758	1	4	0	15		
	1.1057	4	3	3	7		
	1.1016	10	2	2	20		

Rad.: FeKa λ: 1.9373 d-sp:
Cut off: Int.: Diffract. I/|cor.:
Ref: Morimoto et al., Econ. Geol., 70, 824 (1975)

Sys.: Hexagonal S.G.: P
a: 6.888 b: c: 28.670 A: C: 4.1623
α: β: γ: Z: 40 mp:
Ref: Ibid.
Dx: 4.642 Dm: SS/FOM₂²=2(.038,330)

For the formula, x about 0.1 - equivalent to Fe₉S₁₀ with Z=4. The crystal system's true symmetry is orthorhombic. Nickeline group, related structures subgroup. Quartz used as an internal stand. PSC: hP76. To replace 22-358 and 25-410. Mwt: 82.32. Volume[CD]: 1178.00.

©1994 JCPDS-International Centre for Diffraction Data. All rights reserved.

شکل 13 مشخصات پیروتیت نوع اول.

29-0726		Wavelength= 1.9373					
Fe1-xS	d	Int	h	k	l	i	
Iron Sulfide	5.8800	3	1	0	2		
	2.9880	35	2	0	0		
	2.8770	2	0	0	22		
Pyrrhotite-1T	2.6510	60	2	0	11		
	2.2900	<1	2	0	18		
	2.1910	<1	2	1	7		
	2.1490	<1	2	1	9		
	2.0710	100	2	0	22		
	1.7240	35	2	2	0		
	1.6130	8	2	0	33		
	1.4940	<1	3	0	28		
	1.4450	4	4	0	11		
	1.4370	4	0	0	44		
	1.3250	7	4	0	22		
	1.2950	2	2	0	44		
	1.1780	2	4	0	33		
	1.1080	4	2	0	53		
	1.1040	8	2	2	44		
	1.0730	1	1	1	56		
	1.0500	5	4	2	22		
	.99500	2	6	0	2		

Rad.: FeKa λ: 1.9373 d-sp:
Cut off: Int.: Diffract. I/|cor.:
Ref: Morimoto et al., Econ. Geol., 70, 824 (1975)

Sys.: Hexagonal S.G.: P
a: 6.8969 b: c: 63.222 A: C: 9.1667
α: β: γ: Z: 88 mp:
Ref: Ibid.
Dx: 4.650 Dm: SS/FOM₂²=1(.044,724)

Specimen from Suetake, Kohmori mine, Japan. The observed values are considered to be a statistical average of these different nC types. For the formula, x is about 0.09 - equivalent to Fe₁₀S₁₁ with Z=8 Nickeline group, related structures subgroup. PSC: hP168.08. Mwt: 82.88. Volume[CD]: 2604.39.

©1994 JCPDS-International Centre for Diffraction Data. All rights reserved.

شکل 14 مشخصات پیروتیت نوع دوم.

1, Australian mineral foundation, Adelaide (2002) pp. 283-296.

[3] Dow Russell J., Hitzman Murray, *Geology of the Arizaro and lindero prospects, Salta province, northwest Argentina: Mid- Miocene hydrothermal fe oxide copper-gold mineralization, Hydrothermal Iron oxide copper-gold and related deposits: a*

مراجع

[1] Hitzman M.W., "Iron oxide-Cu-Au deposits: What, where, when and why.", Australian mineral foundation, Adelaide, P. 9-25(2000).

[2] Carlon Christopher J., American Anglo, *Iron oxide systems and base metal mineralization in the northern Sweden, Hydrothermal Iron oxide copper-gold and related deposits: a global perspective*, V.

- [14] Klein Cornelis, Hurlbut Cornelius, "Manual of mineralogy", Wiley, 1985, pp. 596.
- [15] Nkoma J.S., Ekosse G., "Mineral data", Pyrrhotite.
- [16] Nkoma J. S., Ekosse G., "X-ray diffraction study of chalcopyrite, pentlandite and pyrrhotite obtained from Cu-Ni ore bodies", J. Phys, 1999, pp. 121-128.
- [17] Howie, Zussman, "An introduction to the rock forming minerals", Long man (1995-1996)
- [18] Mazaheri Ahmad, "Petrological studies of skarns from Marulan south, New south wales, Australia and Sangam, Khorassan, Iran", Univ of Wollongong, Ph.D thesis. (1995).
- global perspective", V. 2, Australian mineral foundation, Adelaide (2002) pp. 153-161.
- [4] Hildebrand R., "Kirona type deposit: their origin and relationship to intermediate subvolcanic plutons in the Great bear magmatic zone", north west Canada. Economic geology, V. 81, (1986) P. 640-659.
- [5] Hitzman Murray, "Oreskes Naomi, Einaudi Marco, Geological characteristics and tectonic setting of proterozoic Iron oxide (Cu-U- Au-REE) deposits", Precambrian research, V. 58, 1992. pp. 241-287.
- [6] Barnes Hubert, "geochemistry of hydrothermal ore deposits", 1979.
- [7] Barton Mark D., Johnson David A., "Alternative brine sources for Fe oxide Cu-Au systems: Implications for hydrothermal alteration and metals, Hydrothermal Iron oxide copper-gold and related deposits: a global perspective", V. 1, Australian mineral foundation, Adelaide, 2002, pp. 43-60
- [8] کریم پور محمد حسن، "کانی شناسی، آلتراسیون، سنگ منشا و محیط تکتونیکی ذخایر Fe oxide Cu-Au و مثال-هایی از آن"، دانشگاه یزد، 1382، 184-187 ص.
- [9] افتخارنژاد ج، "تفکیک بخش‌های مختلف ایران از نظر وضع ساختمانی در ارتباط با حوضه‌ها رسوبی"، نشریه انجمن نفت، 1359، صفحه 19 - 28.
- [10] علوی م، "نقشه تکتونیکی مرکز و شرق ایران 1:5000000، اکتشافات زمین شناسی ایران"، 1991.
- [11] طباطبایی رضایی میر داود، علیجان آفتابی، "بررسی تمرکز عناصر مختلف در واحدهای اسکارن، ژرف زاد، غنی شدگی ثانویه سولفیدی و فروشست-اکسیدی و برآورد ذخیره در کانسار سونگون، اهر، آذربایجان"، بیست و یکمین گردهمایی علوم زمین، تهران، 1381.
- [12] Oreskes N., Einaurdi M., "Origin of rare earth element – enriched Hematite breccias at the Olampic dam Cu-Au-U-Ag deposit", Roxby Downs, south Australia. Economic geology, V. 85, (1990), P. 1-28.
- [13] Ramdohr P., "The ore minerals and their intergrowth", Pergamon/Press, 1980.